JOURNAL OF HARBIN INSTITUTE OF TECHNOLOGY

Vol. 47 No. 9

Sep. 2015

doi:10.11918/j.issn.0367-6234.2015.09.017

菱形立交分流区主线线形指标分析

沈强儒1,2,杨少伟1,赵一飞1,曹

(1.长安大学 公路学院,710064 西安;2.南通大学 建筑工程学院,226019 江苏 南通)

摘 要: 为确定菱形互通式立交分流区域主线线形指标,分析了菱形互通式立交分流处的交通事故特征,运用汽车理论、交通 心理学及人机工程学获取菱形立交分流区的识别视距,运用 VB 程序开发软件及高速公路横净距设置条件建立菱形立交区域 主线平面及纵断面指标和识别视距关系模型,提出菱形立交分流区满足识别视距要求的主线圆曲线半径及凸形竖曲线半径 值. 结果表明:对待建菱形立交分流区应分析识别视距,并用识别视距对主线线形指标验算;对已建成菱形立交分流区,应加 强安全保障措施,保证主线及驶离主线车辆行车安全.

关键词:高速公路;菱形立交;分流区;识别视距;线形

中图分类号: U491

文献标志码: A

文章编号: 0367-6234(2015)09-0090-05

Analysis on mainline alignment index in diamond interchange diverging areas

SHEN Qiangru^{1,2}, YANG Shaowei¹, ZHAO Yifei¹, CAO Hui^{1,2}

(1.School of Highway, Chang' an University, 710064 Xi' an, China; 2. School of Architecture Engineering, Nantong University, 226019 Nantong, Jiangsu, China)

Abstract: The characteristics of traffic accidents is analysed in order to determine the mainline alignment index in the diamond interchange diverging areas. The recognition sight distance of the diamond interchange diverging areas by combining the automobile theory, traffic psychology and ergonomics, and simultaneously are acquired. Based on the VB software and the setting conditions of the lateral clear distance of the expressway, the relation model between the indicators of the mainline plane and vertical section and the recognition sight distance in the diamond interchange diverging areas is set up. The values of the circular curve radius and the convex vertical curve radius of the mainline which meets the requirements of the recognition sight distance in the diamond interchange diverging areas is obtained. The analysis results show that it is necessary to analysis to the recognition sight distance of the diamond interchange diverging areas to be constructed and check the alignment index of the mainline with the recognition sight distance, for the constructed diamond interchange diverging areas, it is necessary to strengthen the safety precautions so as to guarantee the traffic safety of vehicles driving on the mainline and off the mainline.

Keywords: expressway; diamond interchange; diverging areas; recognition sight distance; alignment

随着高速公路网不断完善,互通式立交数量增 加,型式趋于多样化,菱形立交凭借其占地少、结构 简单、跨线桥少等优点应运而生. 菱形互通式立交 (下称菱形立交)的设置一般都是在规划、设计时受 地形地物、路线走廊等条件限制的情况下使用的,其 分流区域主线线形指标较低,不容易被车辆识别,交 通事故频发. 国外对相关方面研究较少,如加拿大 相关研究人员提出 PVSD 设计方法,即针对平纵曲

收稿日期: 2014-02-21.

基金项目: 南通大学自然基金(11Z037);

南通大学交通运输专项(11ZJ007).

作者简介: 沈强儒(1985—),男,博士研究生;

杨少伟(1956-),男,教授,博士生导师.

通信作者: 沈强儒, shengr@ntu.edu.cn.

线上视距不同,把驾驶员在曲线上行驶分为3个部 分,这3个部分组成即为汽车进入曲线的最小视距 值(PVSD)[1-2], Newell 等针对城市道路菱形立交 出口匝道车辆排队及延迟情况作了分析[3],文献 [4]通过分析佛罗里达州 343 起分流区事故,指出 立交分流区主线安全性和速度、减速车道长度等有 关. 这些方面的研究促进了国外立交分流区主线安 全体系的建立,提高了菱形立交范围内的安全运营 水平. 我国关于菱形立交分流区主线线形研究较 少,文献[5-8]对小间距互通式立交及分流区安全 问题进行了仿真分析,文献[9]通过分析凸形竖曲 线视距的变化建立凸形竖曲线与平曲线组合设计方 法,并通过交通事故指标对分析结果评价. 通过调 查海南环岛高速公路墩茶菱形立交分流区统计期间 183 起交通事故,其中有 145 起事故为碰撞分流鼻 端头及侧面碰撞,与其他型式立交分流区事故相比, 其事故特性具有聚集现象,通过对驾驶员调查分析, 发现其主要原因是分流点位置选择不合理,不利于 主线驶出车辆识别. 鉴于此,本文拟对菱形立交分 流区识别视距分析,建立分流区主线识别视距模型, 计算菱形立交分流区域主线平面、凸形竖曲线指标, 为菱形立交分流区交通安全设计提供理论依据.

分流区识别视距计算

菱形立交分流区识别视距存在问题主要是分流 点位于主线线形不良,驾驶员不容易识别分流点位 置,容易发生侧面碰撞、横向刮擦等事故.

1.1 识别视距分析

识别视距是指驾驶员从发现交通标志到完成相 应减速措施,车辆安全行驶经过的安全距离(I),如 图 1 所示. 菱形立交分流驾驶员判断是否分流需经 以下过程:交通标志识别、标志信息读取、标志信息 判断、操作[10]. 标志位于 E 点, 驾驶员行驶至 A 点 (发现点)发现位于主线外侧 E 点交通标志,从 B 点 (读取点)开始识别交通标志信息:到C点(读完点) 识别完交通标志信息,此段时间车辆经过距离即认 读距离 l';认读完毕,车辆行驶至 D 点(行动点),该 段时间内车辆经过的距离称为判断距离j;从行动点 D至行动完成点F(分流鼻)车辆安全行驶经过的距 离称为行动距离 [11-12], 为满足驾驶员安全行驶, 保 证车辆不与前车碰撞需一定的安全距离 d.

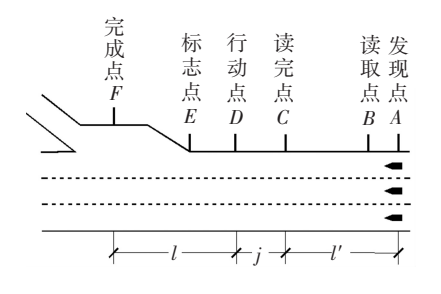


图 1 识别视距示意图

1.2 识别视距计算

驾驶员对菱形立交分流区交通标志识别主要包 括认读、判断、行动,在此过程中车辆经过的距离和 驾驶员对标志的识别时间、操作时间及车辆动力性 能等因素有关,在此期间分别经过认读距离、判断距 离、行动距离及安全距离. 认读距离是指驾驶员从 看到交通标志至识别出交通标志经过的距离,即

$$l' = v \cdot t_1. \tag{1}$$

式中: 1' 为认读距离,由主线设计速度计算出认读距 离,见表 1: v 为运行速度,通常以主线的速度计算; t₁ 为认读时间,取决于驾驶员视觉特性及交通标志 特性,通常取 3 s^[13].

表 1 识别视距计算

主线速度/ (km・h ⁻¹)	<i>l'</i> ∕ m	<i>j</i> ∕ m	匝道设计速度/ (km・h ⁻¹)	1./	识别视距/m	
				l∕ m	最小值	一般值
120	100	70~90	60	200	470	490
			40	220	490	510
100	90	60~70	60	130	380	390
			40	150	400	410
80	70	50~60	60	90	310	320
			40	110	330	340
60	50	40~50	60	40	230	240
			40	60	250	260

判断距离指的是驾驶员在分流区处接受交通标 志信息,对信息处理、加工及传递给运动神经系统车 辆经过的距离. 在此段时间内,车辆仍然按照主线 的速度行驶,判断距离为

$$j = v \cdot t_2. \tag{2}$$

式中:j为判断距离,取值见表1;v为立交区域主线 范围内的设计速度;t,为判断时间,一般取 2.0 ~ $2.5 \, s^{[14]}$.

行动距离是指驾驶员从操作到车辆减速至匝道 运行车速经过的距离,即图1中的1. 驾驶员发现标 志到采取行动所需时间 τ_1 ,包括发现、识别标志所 需决策时间 τ_1 ',驾驶员把脚从油门转到制动踏板的

反应时间为 τ_1 '. 制动踏板消除空隙所需时间为 τ_2 ', 制动力一般都需要增加一段时间才能生效,此段时 间为 τ ,", τ ," + τ ," 为作用时间 τ , 如图 2 所示.

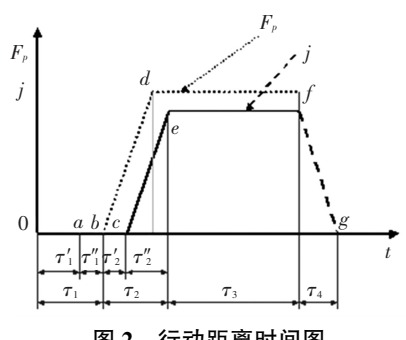


图 2 行动距离时间图

(4)

在 τ_1 和 τ_2 ′ 时间内,车辆行驶距离 s_1 ,则 $s_1 = u_0 \tau_1 = u_0 (\tau_1' + \tau_1'').$ (3) 式中:通常 τ_1 取 0.3~1.0 s,由驾驶员特性决定的反

 τ ,"为制动增长时间,一般认为其减速度和时间 呈线性关系,即

$$a = \frac{\mathrm{d}u}{\mathrm{d}t} = k\tau. \tag{4}$$

其中: $k = -\frac{a_{\text{max}}}{\tau_{\text{n}''}}$.

 τ_2 " 时间内车辆运行速度 u 为

$$u = \int du = \int k\tau d\tau. \tag{5}$$

当 $\tau = 0$ 时, $u = u_0$, 因此有

$$u = u_0 + \frac{1}{2}k\tau^2.$$
(6)

当决策、行动完毕后车辆速度 ॥ 为

$$u_e = u_0 + \frac{1}{2}k\tau''^2. \tag{7}$$

 τ_2 " 时间内车辆经过的距离 s_2 " 为

$$s_2'' = \int u_e dt = \int (u_0 + \frac{1}{2} k \tau_2^2) dt.$$
 (8)

即e时刻车辆经过的距离为

$$s_2'' = u_0 \tau_2'' + \frac{1}{6} k \tau_2''^3 = u_0 \tau_2'' - \frac{1}{6} a_{\text{max}} \tau_2''^3.$$
 (9)

 τ_2 时间内车辆行驶距离 s_2 为

$$s_2 = s_2' + s_2'' = u_0 \tau_2' + u_0 \tau_2'' - \frac{1}{6} a_{\text{max}} \tau_2'^2.$$
 (10)

由人机工程学原理知,通常τ₂取值为0.2~ $0.9 \, \mathrm{s}^{[14]}$. 当车辆制动起作用时, 其减速度为 a_{max} , 初 速度 u_e ,则此段时间内车辆行驶距离 s,为

$$s_3 = \frac{u_e^2 - u_s^2}{2a_{\text{max}}} = \frac{u_0^2}{2a_{\text{max}}} - \frac{u_0 \tau_2''}{2} + \frac{a_{\text{max}} \tau_2''^2}{8} - \frac{u_s^2}{2a_{\text{max}}}. (11)$$

其中: u, 为车辆分流前运行速度,此时车辆一般都 降至匝道车速,可按匝道设计速度取值.

制动距离 l" 计算式为

$$l'' = s_2 + s_3 = (\tau_2' + \frac{\tau_2''}{2})u_0 + \frac{u_0^2}{2a_{\text{max}}} - \frac{a_{\text{max}}\tau_2''^2}{24} - \frac{u_s^2}{2a_{\text{max}}}.$$
(12)

制动延长时间一般可以认为 $\tau_2^{"2} \rightarrow 0$, $\frac{a_{\text{max}}\tau_2^{"2}}{24} \rightarrow$

0,用 u_{a0} (km/h)代替 u_0 (m/s),则

$$l = \frac{u_{a0}(\tau_1' + \tau_1'')}{3.6} + \frac{1}{3.6}(\tau_2' + \frac{\tau_2''}{2})u_{a0} + \frac{u_{a0}^2}{25.92a_{\text{max}}} - \frac{u_{s0}^2}{25.92a_{\text{max}}}.$$
 (13)

当
$$\tau_2^{"2} \to 0$$
时, $\tau_2' + \frac{\tau_2''}{2} \to \tau_2', \tau_2'$ 取 0.2~

 $0.9 \, \mathrm{s}^{[12]}$, 文中取 $0.9 \, \mathrm{s}$, u_{a0} 为初始速度, 可按主线设 计速度取值, u_{so} 为匝道运行速度. 路面处于潮湿状 态时,减速度 $a_{max} \ge 3.4 \text{ m} \cdot \text{s}^{-2}$ 时可有效地控制车 辆,保证车辆稳定[15]. 分别以 60、40 km/h 作为匝 道设计速度计算车辆制动后至匝道分流点经过的距 离,即行动距离,如表1所示.

安全距离是指在不影响通行能力条件下,避免车 辆碰撞,保证行车安全所保留的距离,根据道路交通 安全法及行车安全,一般取安全距离为d = 100 m.

由以上4点知车辆在此过程保证安全行驶经过 的距离为

$$L_s = l' + j + l + d.$$
 (14)

由 L。可得出识别视距值,如表 1 所示. 菱形立 交分流区识别视距考虑了不同匝道设计速度,符合 车辆运行情况.

分流区主线线形计算

2.1 平面线形计算

2.1.1 视点位置的确定

视点位置是指驾驶员眼睛所在道路中的空间位 置. 当车辆在内侧车道行驶时,视点距离内侧车道路 缘带 1.2 m 处位置,视点高度为 1.2 m,如图 3 所示.

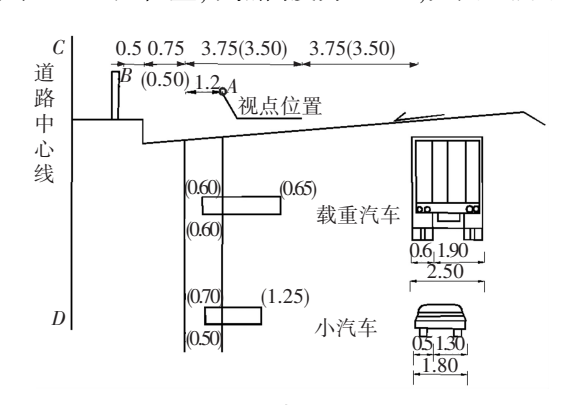


图 3 视点位置(m)

高速公路设计线见图 3 中 CD 线; 在设计和施 工时,柱式交通标志、悬臂式交通标志和门架式标志 立柱内侧距土路肩边缘线通常不小于 25 cm,由标 志余宽得出标志与中央分隔带边缘横净距见表 2.

2.1.2 建立平面计算模型

以水平方向为X轴,垂直于X方向为Y轴,建立 数学直角坐标系: 1) 建立曲线关系模型. 菱形互通 式立交分流点位于圆曲线后半段,由于护栏等障碍 物的遮挡,通常不易识别. 为了便于计算,以中央分 隔带中心线建立坐标模型. 2) 确定主线平曲线位置. 曲线圆心位于y轴,起点和y轴相交,x轴正向水平 方向,视点位于坐标原点,路线(图中AC)设置在第一象限内,OD指车辆与中央分隔带边缘距离.如图 4 所示, L_s 为识别视距(采用直线长度作为识别视距),R为高速公路平面线形中圆曲线的半径值,OB与圆弧相切于 C点,A点为中央分隔带边缘,B点为土路肩边缘,H'为标志位置与土路肩的横净距.

表 2 标志距离中央分割带边缘距离

设计速度/		七十匹玄/		横净距
区月迷皮/	路肩宽度/	标志距离/	车道数	使伊
$(km \cdot h^{-1})$	m	m	1 ~ ~	/m
			4	20.25
120	3.75	0.25	3	16.50
			2	12.75
			4	20.25
100	3.75	0.25	3	16.50
			2	12.75
	3.25	0.25	3	16.50
80			2	12.25
			-	
60	3.00	0.25	2	11.75

注:设计速度为 60 km/h 时采用 3.5 m 车道宽度,否则采用3.75 m.

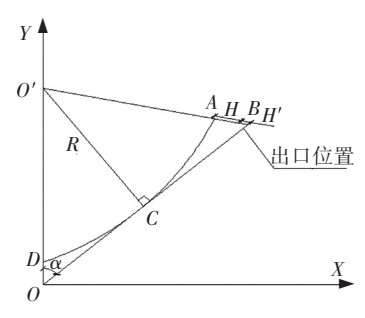


图 4 菱形立交分流区计算模型

2.2 平面设计计算

采用 Visual Basic 软件编辑曲线计算程序,计算 菱形立交分流点位于主线圆曲线后半段平曲线半径值. 计算原理:通过几何关系及识别视距值可计算 出曲线半径值 R, 计算曲线半径时通常取 5 的倍数以方便运用. 通过借助 VB 计算程序计算对应的曲线半径值,如表 3 所示.

表 3 菱形立交分流区域主线圆曲线半径

主线设计速度/	大···关·米··	圆曲线半径/m		
$(km\boldsymbol{\cdot}h^{-1})$	车道数 -	一般值	最小值	
	4	3 700	3 100	
120	3	4 300	3 600	
	2	5 200	4 400	
	4	2 400	2 000	
100	3	2 750	2 400	
	2	3 350	2 900	
00	3	2 050	1 700	
80	2	2 500	2 050	
60	2	1 500	1 150	

通过调查墩茶菱形互通式立交分流区范围内的 交通事故形态,发现碰撞分流端头与侧面碰撞是由 于分流点位于圆曲线后半段,分流点位置容易被外 侧车辆或分隔带等遮挡,当驾驶员识别分流点时会急转方向,导致此类事故.已运营的墩茶菱形立交分流区处平曲线后半段,其半径值为2100m,大于设计规范一般值,但小于表3所示的平曲线一般值2750m,即为调查分流区所在主线半径满足规定要求仍事故频发的原因之一.

2.3 竖曲线线形计算

当菱形立交分流点位于凸形竖曲线变坡点之后时,容易导致驾驶员不能识别分流区域地面标识而错过出口.菱形立交分流区事故主要集中在凸形竖曲线变坡点之后,文中通过识别视距计算凸形竖曲线半径.

2.3.1 计算模型

按照竖曲线长度 L 与菱形立交分流区识别视距 L_s 之间长度的关系分为 $L < L_s$ 和 $L > L_s$ 两种模型.

$$L < L_{\rm s}$$
 时, $h_1 = \frac{{d_1}^2}{2R} - \frac{{t_1}^2}{2R}, h_2 = \frac{{d_2}^2}{2R} - \frac{{t_2}^2}{2R}.$ 则 $d_2 =$

 $\sqrt{2Rh_2 + {t_2}^2}$,如图 5 所示,其中 R 为凸形竖曲线半径值,m; h_1 为驾驶员视线高度,取 h_1 = 1.2 m; h_2 为分流点地面标志,取 h_2 = 0 m.

由
$$t_1 = d_1 - l = \sqrt{2Rh_1 + t_1^2} - l$$
,得 $t_1 = \frac{Rh_1}{l} - \frac{l}{2}$,
 $t_2 = 0$. 则 $L_s = t_1 + L + t_2 = t_1 + L = \frac{Rh_1}{l} + \frac{L}{2}$, $\frac{dL_s}{dl} = 0$,得 $L_s = \frac{R}{L}(h_1 + h_2)^2 + \frac{L}{2}$,即 $L_s = \frac{R}{L}h_1 + \frac{L}{2}$.则 $d_1 = \sqrt{2Rh_1 + t_1^2}$.

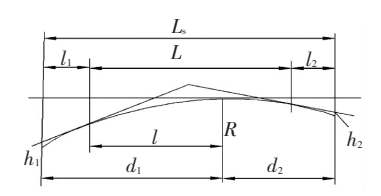


图 5 L<L。时主线凸形竖曲线计算图

 $L > L_{\rm s}$ 时,如图 6 所示,由图可知: $h_1 = \frac{d_1^2}{2R}$,则 $d_1 = \sqrt{2Rh_1}$, $h_2 = \frac{d^2}{2R}$.由于 $h_2 = 0$,因此 h_2 不用计算. $L_{\rm s} = d_1 + d_2 = \sqrt{2Rh_1}$,因此, $R = L_{\rm s}^2/2h_1$.

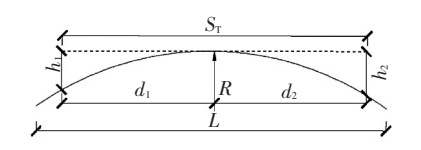


图 6 L>L。时凸型竖曲线计算图

2.3.2 凸形竖曲线计算

根据识别视距值及计算方法,可得到不同设计 速度相对应的凸形竖曲线半径值,如表 4 所示.

主线速度/	竖曲线长度/	匝道设计速度/	识别视距/m		竖曲线半径/m	
$(km\boldsymbol{\cdot}h^{-1})$	m	$(km \cdot h^{-1})$	一般值	最小值	一般值	极限值
120	250	60	490	470	83 000	79 000
		40	510	490	88 000	84 000
100	210	60	390	380	55 000	53 000
		40	410	400	59 000	57 000
80	170	60	320	310	37 000	35 000
		40	340	330	40 000	38 000
60	120	60	240	230	20 000	19 000
		40	260	250	22 000	21 000

表 4 菱形立交分流区凸形竖曲线计算值

注:表中一般值为推荐采用值;极限值为不得以情况下使用.

菱形立交分流区主线凸形竖曲线半径是规范值补充,即当菱形立交分流区位于凸型竖曲线变坡点之后时,应调整分流点位置或增加竖曲线半径以满足识别视距要求.

3 结 论

- 1)应用汽车理论、人机工程学及交通心理学等研究车辆在分流区对标志标线的识别过程,计算获得不同主线设计速度及匝道设计速度组合对应的识别视距值.
- 2)通过识别视距计算的菱形立交分流区主线 圆曲线半径及凸形竖曲线半径取值范围比其他互通 式立交范围内主线的平、纵面指标高,这也验证了菱 形立交分流区位于圆曲线或凸形竖曲线后半段侧面 碰撞及碰撞分流鼻等事故高发的原因.
- 3)菱形立交分流区所在主线指标应满足一般值,新建高速公路菱形立交应该避免采用极限值,当受地形地物限制不得已采用此种设计时应在分流点加强行车诱导及分流预告标志,保证行车安全.
- 4) 墩茶菱形立交平线形大于规定圆曲线半径最小值1000 m 要求,但由于其分流点处于圆曲线后半段,其曲线半径>2750 m,易发生识别分流点问题,导致事故形态集中.通过对墩茶菱形立交分流区采取识别视距改善措施后的跟踪调查,其侧面碰撞及碰撞分流端事故率明显降低,这也说明该路段对识别视距的改善可以有效降低事故数量.
- 5)对识别视距计算时,是以小客车为标准,其 他车型制动特性等有待进一步研究.

参考文献

- [1] TAIGANIDIS I. Aspects of stopping-sight distance on crest vertical curves [J]. Journal of Transportation Engineering, 1998,15(3):88-92.
- [2] HASSAN Y, EASA S M. Modelling of required preview-sight distance [J]. Journal of Transportation Engineering,

- 2000, 126(1): 13-20.
- [3] NEWELL G F. Delays caused by a queue at a freeway exit ramp [J]. Transportation Research Part B,1999, 33(5): 337-350.
- [4] CHEN H, LIU P, LU J J, et al. Evaluating the safety impacts of the number and arrangement of lanes on freeway exit ramps[J]. Accident Analysis & Prevention, 2009, 41 (3): 543-551.
- [5] 高建平, 廖丽. 互通式立交匝道连续分流点最小间距研究[J]. 重庆交通大学学报:自然科学版, 2014, 33(2): 103-107.
- [6] 赵一飞, 陈敏, 潘兵宏. 隧道与互通式立交出口最小间 距需求分析[J]. 长安大学学报: 自然科学版, 2011, 31 (3): 68-71.
- [7] 赵海娟, 陆键, 马永锋. 高速公路出口匝道与地面道路 衔接部的几何安全设计研究综述[J]. 交通运输工程与信息学报, 2010(2): 48-55.
- [8] 杨少伟, 王晓, 冯玉荣, 等. 基于交通冲突技术互通式立交最小净距研究[J]. 西南大学学报:自然科学版, 2011,33(3): 133-138.
- [9] 魏连雨,朱敏清.竖凸曲线与平曲线组合设计的新方法 [J].中国公路学报,2002,15(1):15-18.
- [10] 冯浩, 席建锋, 矫成武, 基于前视距离的路侧交通标志 设置方法[J]. 吉林大学学报: 工学版, 2007, 37(4), 782-785.
- [11] 王军雷, 孙小端, 徐婷, 等. 山区高速公路平曲线建议 限速标志设置[J]. 长安大学学报: 自然科学版, 2011, 31(4): 77-80.
- [12] 陆建,姜军,叶海飞.普通公路路侧限速标志设置位置的确定方法[J].长安大学学报:自然科学版,2011,31(1):74-78.
- [13] LU Jian, CHEN Weiwei, FAN Hongjing. Intersection capacity based on driver's visual characteristics [J]. Journal of Southeast University, 2009, 18(1); 117-122.
- [14]中国公路学会.交通工程手册[M].北京:人民交通出版 社.1998.
- [15]余志生. 汽车理论[M]. 北京:机械工业出版社,1999.

(编辑 魏希柱)